

Непосредственное наблюдение неоднородного распределения намагниченности проводилось на электронном макроскопе. На рис. 2 приведена микрофотография магнитного контраста пленки $Dy_{23}Co_{77}$, полученная на участках с $K_u > 0$. Известно, что величина магнитного контраста пропорциональна скорости изменения плоскостной составляющей намагниченности.

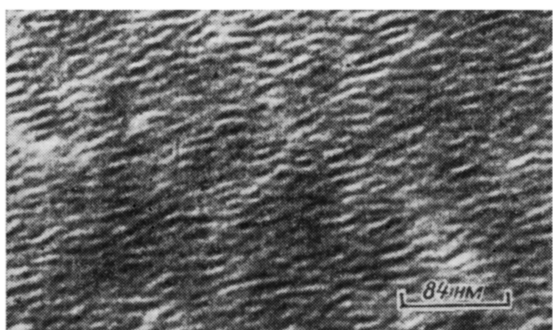


Рис. 2. Магнитный контраст, полученный на пленке $Dy_{23}Co_{77}$ методом лоренцевой электронной микроскопии.

ности. Видно, что в полях объективной линзы ($H \sim 2$ кЭ вдоль нормали) в плоскости пленки существует неоднородное распределение намагниченности типа микродоменной страйп-структурь с периодом порядка ~ 100 Å, которое, по-видимому, можно связать с ОФП в УФ.

Авторы выражают благодарность И. Е. Дикштейну и Ф. В. Лисовскому за полезные обсуждения.

Л и т е р а т у р а

- [1] Фиш Г. И., Хрусталев Б. П., Фролов Г. И., Яковчук В. Я. ФТТ, 1986, т. 28, № 7, с. 2205—2207.
- [2] Синицын Е. В., Бострем И. Г. ЖЭТФ, 1983, т. 85, № 2 (8), с. 661—669.
- [3] Йелон А. В сб.: Физика тонких пленок. М.: Мир, 1973, т. VI, с. 228—333.
- [4] Tsunashina S., Imatura K., et al. Jap. Appl. Phys., 1977, vol. 16, N 6, p. 1051—1052.
- [5] Белов К. П., Звездин А. К., Кадомцева А. М., Левитин Р. З. Ориентационные переходы в редкоземельных магнетиках. М.: Наука, 1979. 320 с.
- [6] Баръяхтар В. Г., Богданов А. И., Яблонский Д. А. ФНТ, 1986, т. 12, № 1, с. 43—54.
- [7] Koikeda T., Suzuki K., Chikazumi S. Appl. Phys. Lett., 1964, vol. 4, N 9, p. 160—162.

Институт физики
им. Л. В. Киренского СО АН СССР
Красноярск

Поступило в Редакцию
15 июля 1987 г.
В окончательной редакции
18 ноября 1987 г.

УДК 539.143.43

Физика твердого тела, том 30, в. 4, 1988
Solid State Physics, vol. 30, N 4, 1988

ТЕМПЕРАТУРНАЯ ЗАВИСИМОСТЬ ВРЕМЕНИ ЯДЕРНОЙ ПОПЕРЕЧНОЙ РЕЛАКСАЦИИ В ДОМЕННОЙ ГРАНИЦЕ ПРИ НИЗКИХ ТЕМПЕРАТУРАХ

З. П. Суладзе, К. О. Хуцишвили

Экспериментальные исследования в магнетиках указывают на зависимость времени ядерной поперечной релаксации T_2 от температуры [1—3]. Например, в поликристаллических образцах литиевого феррита ($Li_{0.5}Fe_{2.5}O_4$) наблюдается монотонный рост T_2 при понижении температуры [3].

В настоящее время рассматриваются различные механизмы ядерной магнитной релаксации [1, 3]. Одним из наиболее эффективных механиз-

мов, дающих температурную зависимость T_2 , является релаксация ядерных спинов через быстро релаксирующие магнитные моменты парамагнитных примесей [2, 3]. Однако при низких температурах она может оказаться неэффективной в связи с усилением влияния сверхтонкого взаимодействия (СТВ) на движение электронных спинов. Действительно, в [2] наблюдалось некоторое расхождение экспериментальных данных с теорией в антиферромагнетике для T_2 при температуре ниже $T=45$ К.

В настоящей работе исследуется температурная зависимость времени ядерной поперечной релаксации при низких температурах для ядер, расположенных в доменной границе (ДГ).

Рассмотрим 180° ДГ в одноосном ферромагнетике с легкой осью, совпадающей с главной осью симметрии кристалла (ось z). Направление, перпендикулярное к границе, примем за ось y . Выражение для гамильтониана электронных и ядерных спинов в случае изотропного СТВ в локальной системе координат имеет вид [4]

$$\mathcal{H} = -Ja^2 \sum_i S_i \nabla^2 S_i + K \sum_i [(S_i^x)^2 + (S_i^y)^2] \cos 2\theta_i + K' \sum_i (S_i^z)^2 + 2\pi\gamma_e^2 \sum_i (S_i^y)^2 + A \sum_i S_i I_i, \quad (1)$$

где J — константа обменного взаимодействия, a — параметр решетки, K — константа анизотропии, θ — угол отклонения от оси z , K' — константа возвращающей силы для ДГ, γ_e — гиромагнитное отношение электронов, A — константа СТВ ($\hbar=1$).

Ввиду того что статическая часть сверхтонкого поля в области низких температур может оказать существенное влияние на электронную систему, заменим в (1) z -компоненту ядерного спина через его среднее значение $I^z \approx I$. Далее, учитывая, что $S_i^z = S (1 - [(S_i^x)^2 + (S_i^y)^2]/2S^2)$, перейдем от спиновых операторов S_i^x и S_i^y к операторам рождения и уничтожения магнонов $c_{\mathbf{k}}^+$, $c_{\mathbf{k}}$ [4]. При этом гамильтониан (1) можно записать в виде

$$\begin{aligned} \mathcal{H} &= \mathcal{H}_0 + \mathcal{H}_{\text{int}}, \\ \mathcal{H}_0 &= \sum_{\mathbf{k}} \omega_{\mathbf{k}} c_{\mathbf{k}}^+ c_{\mathbf{k}} \quad \omega_{\mathbf{k}}^2 = (2K'S + AI + 2Ja^2 Sk^2) (2Ja^2 Sk^2 + 4\pi\gamma_e^2 S), \\ \mathcal{H}_{\text{int}} &= \sum_{i, \mathbf{k}} \alpha A \sin \theta_i [I_i^- e^{i\mathbf{kR}_i} (\mu_{\mathbf{k}} c_{\mathbf{k}}^+ - v_{\mathbf{k}} c_{-\mathbf{k}}) + I_i^+ e^{-i\mathbf{kR}_i} (\mu_{\mathbf{k}} c_{\mathbf{k}} - v_{\mathbf{k}} c_{-\mathbf{k}})], \\ \alpha &= \left(\frac{S}{2}\right)^{1/2} \left[\left(\frac{K}{J}\right)^{1/2} \frac{a^2}{2S_0}\right]^{1/2} \quad \mu_{\mathbf{k}}^2 - v_{\mathbf{k}}^2 = 1, \quad I^{\pm} = I^x \pm iI^y, \end{aligned}$$

где S_0 — площадь ДГ, а $k^2 = k_x^2 + k_z^2$ — двумерный волновой вектор.

Переходя в представление взаимодействия с помощью унитарного преобразования $u(t) = \exp(i\omega_{\mathbf{k}} t c_{\mathbf{k}}^+ c_{\mathbf{k}})$ и применяя метод усреднения [5] с точностью до второго порядка малости относительно величины $A/\omega_{\mathbf{k}}$, получим

$$\begin{aligned} \mathcal{H} &= \frac{1}{2} \sum_{i, j} u_{i, j} I_i^+ I_j^-, \\ u_{i, j} &= \sum_{\mathbf{k}} \alpha^2 A^2 \sin \theta_i \sin \theta_j e^{i\mathbf{kR}_i j} (\mu_{\mathbf{k}}^2 + v_{\mathbf{k}}^2) \frac{1}{\omega_{\mathbf{k}}}. \end{aligned}$$

Вычисляя второй момент по методике [4], для ширины линии имеем

$$\Delta = \frac{A^2}{4\pi J} \left(\frac{K}{J}\right)^{1/4} \left[\frac{I(I+1)}{3}\right]^{1/2} \left[\frac{4\pi\gamma_e^2 S 2JS}{\omega_0^2 + \omega_T^2}\right]^{1/2}, \quad (2)$$

где $\omega_0^2 = 4\pi\gamma_e^2 S 2K'S$ — невозмущенная частота ДГ [4], а $\omega_T^2 = 4\pi\gamma_e^2 S A I$ — ее статический сдвиг [6, 7]. Так как $\omega_T^2 \sim 1/T$, ширина линии ЯМР зависит от температуры. При высоких температурах $\omega_T^2 \rightarrow 0$ и выражение (2) переходит в известное выражение Винтера [4]. Однако при понижении температуры ω_T^2 увеличивается и может оказаться сравнимым и даже больше ω_0^2 . Например, в обогащенных по изотопу Fe^{57} до 100 % образцах $\text{Li}_{0.5}\text{Fe}_{2.5}\text{O}_4$, полагая $\omega_0 \approx 100$ МГц, $4\pi\gamma_e^2 S \approx 6.9 \cdot 10^{10}$ Гц [8], имеем $2K'S \approx$

$\approx 1.5 \cdot 10^5$ Гц, а для AI с помощью закона Кюри при $B_n \approx 53.8$ Вб/м² (B_n сверхтонкое поле на ядрах) и $\omega_0/2\pi \approx 71$ МГц [9] находим¹

$$AI \approx \frac{80.5}{T} 10^5, \text{ Гц.} \quad (3)$$

Как следует из (3), уже при температурах жидкого азота $T=77$ К $AI \approx 1.1 \cdot 10^5$ Гц, что сравнимо с величиной $2K'S$.

Для $\text{Li}_{0.5}\text{Fe}_{2.5}\text{O}_4$, полагая $2JS \approx 10^{14}$ Гц, $2K'S \approx 1.5 \cdot 10^{10}$ Гц [8], можно видеть из (2) что Δ гораздо меньше неоднородного уширения $\Delta \omega \approx 10^7$ Гц [1]. Как известно [1], в этом случае время поперечной релаксации дается выражением $T_2 \approx 4\Delta \omega / \Delta^2$. Учитывая это соотношение, для T_2 окончательно получим

$$T_2 \approx 1.4 \left[1 + \frac{55.2}{T} \right] 10^{-3}, \text{ с.} \quad (4)$$

Следует отметить, что механизм релаксации ядерных спинов через быстро релаксирующие парамагнитные примеси [2] при низких температурах приводит к зависимости $T_2 \sim T$, которая не согласуется с экспериментальными данными [3].

Относительный рост величины T_2 ($T_2(T)/T_2(\infty)$) составляет 2 и 14 при $T=77$ К и $T=4.2$ К соответственно, что по порядку величины удовлетворительно согласуется с экспериментальными данными [3].

В заключение отметим, что для монокристаллических образцов невозмущенная частота ДГ больше чем для поликристаллов [10]. Вследствие этого вышеприведенный механизм температурной зависимости T_2 будет существенным при более низких температурах, чем в поликристаллах, что в принципе и наблюдалось в [3].

Авторы выражают благодарность Л. Л. Бушвили и Т. Г. Вардосанидзе за внимание к работе.

Л и т е р а т у р а

- [1] Иванов С. В., Куркин М. И. В кн.: Динамические и кинетические свойства магнетиков. М.: Наука, 1986. 247 с.
- [2] Залесский А. В., Кривенко В. Г., Лутовинов В. С., Химич Т. А., Шаданов В. Н., Томпа К., Банки П. ЖЭТФ, 1984, т. 86, № 5, с. 1891–1899.
- [3] Бушвили Л. Л., Иванов С. В., Куневич А. В., Куркин М. И. ФММ, 1983, т. 56, № 1, с. 94–103.
- [4] Winter J. M. Phys. Rev., 1961, vol. 124, N 2, p. 452–459.
- [5] Бушвили Л. Л., Менабде М. Г. ЖЭТФ, 1979, т. 77, № 6, с. 2435–2442.
- [6] Чекмарёв В. П. ФТТ, 1982, т. 24, № 9, с. 2870–2872.
- [7] Вардосанидзе Т. Г., Хуцишвили К. О. ФТТ, 1984, т. 26, № 5, с. 1567–1569.
- [8] Крупичка С. Физика ферритов и родственных им магнитных окислов. М.: Мир, 1976. 353 с.
- [9] Туров Е. А., Петров М. П. Ядерный магнитный резонанс в ферро- и антиферромагнетиках. М.: Наука, 1969. 260 с.
- [10] Гуревич А. Г. Магнитный резонанс в ферритах и антиферромагнетиках. М.: Наука, 1973. 591 с.

Тбилисский
государственный университет
Тбилиси

Поступило в Редакцию
27 апреля 1987 г.
В окончательной редакции
23 ноября 1987 г.

¹ Следует отметить, что при малых концентрациях магнитных ионов косвенное взаимодействие ядерных спинов неэффективно [1]. Следовательно, выражение (2) для ширины линии ЯМР будет справедливым при больших концентрациях.